

## ภาคผนวก

การเปรียบเทียบเทคนิคการประเมินโรคข้อสะโพกเจริญผิดปกติ

ด้วยการถ่ายภาพรังสีท่ามาตรฐานและท่ากดในสุนัขทหารพันธุ์เยอรมันเชฟเพริด

Comparison of radiographic standard technique and radiographic stress technique for early hip dysplasia detection in German shepherd war-dogs

### บทนำ

โรค Hip dysplasia ในสุนัขเป็นโรคที่มีความสำคัญโรคหนึ่ง โรคนี้ได้รับการค้นพบและตั้งชื่อตั้งแต่ปี ค.ศ. 1935 โดย Schnelle (Schnelle, 1935) ในประเทศไทยมีการเรียกโรคชนิดนี้เป็นภาษาไทยต่างกันออกไป บางครั้งเรียกว่าโรคข้อสะโพกห่าง บางครั้งเรียกว่าโรคข้อสะโพกเสื่อม ซึ่งการเรียกที่กล่าวมานี้อาจเป็นการทำให้เข้าใจความหมายของโรคนี้ผิดไปได้ โดยแท้จริงคำว่า dysplasia มาจากภาษากรีก ซึ่งหมายถึงการเจริญผิดปกติ (Morgan, 1988) ดังนั้นการเรียกชื่อโรคนี้เป็นภาษาไทย จึงควรเรียกว่าโรคข้อสะโพกเจริญผิดปกติ น่าจะมีความเหมาะสม ในแต่ละปีทั่วโลกมีสุนัขเป็นโรคนี้จำนวนมาก โรคนี้ทำให้ขาดความพอดีข้อสะโพกระหว่างหัวกระดูกและเบ้ากระดูก (ill-fitting or loosely-fitting hip joints) ซึ่งทำให้เกิดข้อสะโพกอักเสบหรือเสื่อมตามมาภายหลังได้ (secondary joint disease, osteoarthritis). (Adams, 2000; Alexander, 1992; Dammrich, 1991; Fries & Remedios, 1995; Keller, 2006; Leighton, 1997; Leighton et al., 1977; Swenson, Audell & Hedhammar, 1997; van der Velden, 1983) โรคนี้สามารถเกิดขึ้นได้กับสุนัขทุกสายพันธุ์ โดยที่อุบัติการณ์การเกิดขึ้นกับสุนัขแต่ละสายพันธุ์จะไม่เท่ากัน สายพันธุ์ที่มีรายงานว่ามีเปอร์เซนต์การเป็นโรคนี้สูงสุดคือ สุนัขพันธุ์บูลด็อก (Bulldogs) ซึ่งเป็นสูงถึง 70.5% (Corley & Keller, 1993) ซึ่งตรงกับข้อมูลล่าสุดของ Orthopedic Foundation for Animals (OFA) ที่มีการเก็บไว้ในระบบฐานข้อมูลของโรคนี้ในปี ค.ศ. 2006 ที่เว็บไซต์ [www.offa.org](http://www.offa.org) ส่วนอัตราส่วนการเกิดโรคนี้ในสุนัขเพศผู้และเมียไม่พบว่าแตกต่างกัน (Lust, 1993)

สาเหตุที่แท้จริงของโรคข้อสะโพกเจริญผิดปกติยังไม่ที่ทราบ จากการศึกษาพบว่ากรรมพันธุ์น่าจะเป็นสาเหตุหลัก อันหนึ่ง โรคนี้สามารถถ่ายทอดได้ทางกรรมพันธุ์ (Alexander, 1992; Corley, 1992; Hedhammar et al., 1979; Morgan, 1988; Morgan, 1992; Swenson, Audell & Hedhammar, 1997; Tsai & Murphy, 2006; van Hagen et al., 2005) โรคนี้เกี่ยวข้องหรือถูกควบคุมด้วยยีนเป็นร้อยๆ ตัว ซึ่งยีนแต่ละตัวมีส่วนเกี่ยวข้องกับการเกิดโรคนี้ ซึ่งเชื่อกันว่าอย่างน้อยที่สุดจะมียีนคู่หนึ่งเป็นยีนด้อย และความรุนแรงของโรคขึ้นกับจำนวนของยีนที่ผิดปกติ (Corley & Keller, 1989; Mackenzie, Oltenacu & Leighton, 1985) ลักษณะของยีนแต่ละตัว (genotype) จะเป็นตัวกำหนดลักษณะโครงสร้างทางกรรมพันธุ์ (genetic blueprint) ของรูปร่างข้อสะโพก ขนาด โครงสร้างทางกายวิภาค กล้ามเนื้อที่เกี่ยวข้องกับข้อสะโพก (Alexander, 1992; Forst, 1989) อย่างไรก็ตามการแสดงออกทางกรรมพันธุ์ของโรคนี้จะรุนแรงเพียงใดมีผลมาจากการที่สุนัขมีอัตราการเจริญเติบโตที่เร็วเกินไป โดยเฉพาะในสุนัขพันธุ์ใหญ่ (Gustafsson et al., 1975) สายพันธุ์สุนัขและการที่สุนัขเกิดจากการผสมสายเลือดใกล้ชิดกัน (degree of inbreeding) (Mackenzie, Oltenacu & Leighton, 1985) ปัจจัยอื่นๆ จากสิ่งแวดล้อมอันได้แก่ อาหาร การให้อาหาร การออกกำลังกาย ยอร์โนน (Kasstrom, 1975)

อาหารเป็นปัจจัยสำคัญที่มีอิทธิพล ต่อการพัฒนาการของโรคข้อสะโพกเจริญผิดปกติ อาจเพิ่มอุบัติการณ์การเกิดของโรคหรือลดการเกิดโรคลง แต่อาหารอย่างเดียวไม่ได้เป็นสาเหตุของการเกิดโรคนี้ (Richardson, 1992) ปริมาณของโปรตีนและคาร์บอไฮเดรตในอาหารที่แตกต่างกันไม่ส่งผลกระทบต่อการเกิดโรค จากการศึกษามิเพ็บความแตกต่างของกรดอะมิโนในพลาสมาระหว่างสัตว์ที่มีข้อสะโพกปกติหรือสุนัขที่เป็นโรค (Nap, Hazelwinkel & Voorhout, 1993; Nap et al., 1991; Richardson, 1992) ถ้าแนใจว่าการดูดซึมนิโนของโปรตีนที่ได้รับที่สำคัญต่อการเจริญเติบโต มีความเพียงพอในอาหาร

เพราะว่าปริมาณเท่าใดที่สมควรให้เป็นสิ่งไม่สำคัญ (Richardson, 1992) แคลเซียมและวิตามินดี ที่มากเกินไป ส่งผลทำให้มีโอกาสเกิดโรคข้อสะโพกเจริญผิดปกติมากขึ้น (Fries & Remedios, 1995) ดังนั้นควรหลีกเลี่ยงการให้มากเกินไปในลูกสุนัข หรือสุนัขที่มีการเจริญเติบโตเร็ว เนื่องจากว่าลูกสุนัขยังไม่มีขบวนการป้องกันการได้รับแคลเซียมที่มากเกินไป ปริมาณแคลเซียมที่สูงจะไปลด Osteoclastic activity ซึ่งจะทำให้การเกิด endochondral ossification และ skeleton remodeling ช้าลงไป (Lust, 1993; Madsen, Reimann&Svalastoga, 1991; Riser, 1987) และอัตราส่วนของแคลเซียมและฟอสฟอรัสที่เหมาะสมมีความสำคัญเช่นกัน(Nap, et al., 1991) สำหรับวิตามินซี ยังไม่มีรายงานการศึกษาชัดเจนทางวิชาการที่ยืนยันว่า การให้วิตามินซีในระดับสูงจะช่วยป้องกันการเกิดโรคนี้ได้ (Fries & Remedios, 1995)

อุบัติการณ์การเกิดโรคข้อสะโพกเจริญผิดปกติที่สูงมีความสัมพันธ์กับการที่สัตว์มีการเจริญเติบโตเร็วมาก ซึ่งสัมพันธ์กับการที่โครงสร้างกระดูก (skeleton) ต้องได้รับน้ำหนักที่มาก การได้รับสารอาหารมากเกินไป ไม่ว่าจะอยู่ในรูปของไขมัน โปรตีนหรือคาร์บอไฮเดรต ในลูกสัตว์หรือสัตว์ที่ยังไม่เจริญพัฒนาเต็มที่ จะเพิ่มการเจริญของโครงสร้างและน้ำหนักเมื่อเทียบกับสัตว์ที่มีการให้อาหารปกติหรือมีการควบคุมอาหาร (Dammmrich, 1991; Hedhammar, et al., 1979; Kealy et al., 1993; Richardson, 1992) ซึ่งปัจจัยนี้ส่งผลต่ออุบัติการณ์และพัฒนาการความรุนแรงของโรคนี้ การให้อาหารที่มากเกินไปมีความสำคัญมากโดยเฉพาะในช่วงอายุ 6 เดือนแรก (Hedhammar, et al., 1979) โดยเฉพาะสายพันธุ์ที่มีการเจริญเติบโตเร็วจะมีความเสี่ยงสูงขึ้น (Riser, 1987) การออกกำลังกายที่มากเกินไปอาจส่งผลต่อพัฒนาการของโรคข้อสะโพกเจริญผิดปกติแต่ยังไม่มีการศึกษาถึงปัจจัยนี้อย่างแท้จริง (Lust, Geary & Sheffy, 1973) การออกกำลังกายอาจส่งผลทำให้การแสดงออกของโรคเร็วขึ้น แต่ในขณะเดียวกันอาจช่วยเพาะปลูกงานที่ลูกสุนัขได้รับมากเกินไปจากอาหารได้เช่นกัน ดังนั้นควรมีการศึกษาต่อไปเพื่อตอบคำถามนี้

จากที่พบว่าโรคนี้เป็นโรคที่ถ่ายทอดได้ทางพันธุกรรม ดังนั้นการคัดเลือกสายพันธุ์สุนัขจึงเป็นวิธีการที่จะช่วยลดอุบัติการณ์การเกิดโรคนี้ได้ การการศึกษาอุบัติการณ์การเกิดโรคนี้ในสุนัขจำนวนมากพบว่าสุนัขที่เกิดจากพ่อและแม่เป็นโรคข้อสะโพกเจริญผิดปกติ จะเป็นโรคนี้ถึง 85 เปอร์เซ็นต์ และเปอร์เซนต์การเกิดโรคนี้จะลดลงที่ 52 เปอร์เซ็นต์ ถ้าเฉพาะพ่อหรือแม่เป็นโรคนี้ และพบว่าถ้าพ่อและแม่เป็นปกติ สุนัขจะมีโอกาสเป็นโรคนี้ประมาณ 37.5 เปอร์เซ็นต์ (Riser, 1987) อย่างไรก็ตามยังไม่มีข้อมูลการศึกษาถึงอุบัติการณ์ของโรคนี้ในประเทศไทยอย่างแท้จริง การมีโปรแกรมการควบคุมโรคนี้โดยการคัดเลือกพ่อพันธุ์และแม่พันธุ์ ที่มีข้อสะโพกที่ดี สามารถลดอุบัติการณ์การเกิดโรคลงได้จาก 39 เปอร์เซ็นต์ ลดลงเหลือเพียง 17 เปอร์เซ็นต์ ภายในระยะเวลา 3 ปีครึ่ง ในสุนัขพันธุ์เยอรมันเชฟเฟอร์ด (Riser, Rhodes & Newton, 1985) ดังนั้นในปัจจุบันนี้จึงแนะนำว่าสุนัขที่จะนำมาใช้เป็นพ่อพันธุ์และแม่พันธุ์ต้องปลอดจากโรคนี้ ซึ่งจากการศึกษาพบว่าจะให้ลูกสุนัขที่มีข้อสะโพกปกติมากกว่า 75 เปอร์เซ็นต์ (Corley & Keller, 1989) และเพื่อลดอุบัติการณ์การเกิดโรคนี้ลงอีก ควรมีการประเมินข้อสะโพกของสุนัขที่เกิดจากพ่อพันธุ์เดียวกันอย่างน้อย 18 ตัว จาก 3 ครอก ก่อนที่จะอนุญาตให้พ่อพันธุ์ตัวนั้นสามารถเป็นพ่อพันธุ์ต่อไปได้อีก (Brass, 1989)

การแสดงออกทางคลินิกของสุนัขที่เป็นโรคข้อสะโพกเจริญผิดปกติมีความแตกต่างกัน สุนัขบางตัวไม่แสดงอาการกระเพลก (lameness) ให้เห็น ในขณะที่บางตัวแสดงอย่างเด่นชัด ลักษณะที่แสดงออกทางคลินิกหรือความเจ็บปวดที่เกิดขึ้นไม่สัมพันธ์กับลักษณะทางโครงสร้าง (morphology) ที่เปลี่ยนไปของข้อสะโพก (Brass, 1989; Fry & Clark, 1992) การตรวจนิจฉัยสามารถกระทำได้หลายวิธีอาทิเช่นโดยการคลำ (palpation) (Bardens & Hardwick, 1968; Chalman & Butler, 1985) การเอกซเรย์ข้อสะโพก (radiography) (Brooymans-Schallenberg, 1983; Corley & Keller, 1989; Lust, 1993; Morgan & Silverman, 1984) การตรวจด้วยคลื่นเสียงความถี่สูง (ultrasonography) (Greshake & Ackerman, 1993.) จากการศึกษาพบว่าการตรวจโดยวิธีการคลำแบบ Ortolani sign (Chalman & Butler, 1985) เป็นการตรวจดูความหลวমของข้อสะโพก (joint laxity) ไม่ได้มีความแม่นยำสูง เพราะว่าสุนัขที่ตรวจไม่พบลักษณะนี้ไม่ได้หมายความว่าสุนัขจะไม่เป็นโรคข้อสะโพกเจริญผิดปกติ (Fries & Remedios, 1995) การตรวจด้วยการคลำอีกวิธีหนึ่ง

เรียกว่า Barden's hip left (Bardens & Hardwick, 1968) เป็นการดูความหลุมของข้อสะโพกเข่นกัน การตรวจวินิจฉัยนี้ขึ้นอยู่ กับความชำนาญของผู้ตรวจเป็นสำคัญ ดังนั้นผลการตรวจจะจึงไม่สามารถยืนยันความถูกต้องได้เสมอไป (Brass, 1989; Lust, Rendano & Summers, 1985) เช่นเดียวกับวิธีการใช้คัลเลนเสียงความถี่สูง ซึ่งผลลัพธ์การตรวจวินิจฉัยขึ้นกับประสบการณ์ ของผู้ตรวจโดยตรง ทำให้ยังไม่เป็นที่ยอมรับกันทั่วไป ในปัจจุบันนี้การตรวจด้วยวิธีเอกซเรย์ข้อสะโพกเป็นวิธีมาตรฐานที่ได้รับการยอมรับกันทั่งของ OFA และ FCI (The Fédération Cynologique Internationale, the World Canine Organisation) ท่ามมาตรฐานในการจัดท่าเพื่อเอกซเรย์ข้อสะโพกในสุนัขคือ สุนัขนอนหงายและขาถูกดึงไปด้านหลังขณะไป กับลำตัวของสุนัขและต้องระดับไวไม่ให้เชิงกรานเอียงไปด้านใดด้านหนึ่ง เพราะว่าการจัดท่าที่ไม่ถูกต้องจะส่งผลต่อการ วินิจฉัย ซึ่งเป็นสิ่งที่ต้องให้ความสำคัญมาก (Henry, 1992; Lust, 1993) เพื่อให้การจัดท่าเป็นไปอย่างถูกต้องการการให้ยา ชื้มหรือยาสลบซึ่งมีความจำเป็น เพราะสุนัขอาจรู้สึกเจ็บซึ่งทำให้ไม่สามารถบังคับสัตว์ให้อยู่ในท่าที่เหมาะสม (Brass, 1989; Lust, Rendano & Summers, 1985) ผลของยาชื้มหรือยาสลบอาจส่งผลต่อลักษณะของข้อสะโพกในภาพรังสียังเป็นที่ โต้แย้ง (Fries & Remedios, 1995) อย่างไรก็ตามในสุนัขที่ผลวินิจฉัยไม่ชัดเจนในการตรวจครั้งแรก เมื่อทำการเอกซเรย์ข้อ สะโพกอีกครั้งจะช่วยยืนยันผลการวินิจฉัยได้ (Corley, 1992) ดังนั้นจึงแนะนำว่าสุนัขควรได้รับยาชื้มหรืออยู่ภายใต้การสลบ เพื่อให้ได้คุณภาพของภาพรังสีของข้อสะโพกที่ดีที่สุด จากข้อมูลที่ได้รับจากศูนย์การสุนัขทหาร กรมการสัตว์ทหารบก อ.ป.ก ช่อง จ.นครราชสีมา สุนัขที่เข้ารับการตรวจเอกซเรย์ข้อสะโพกไม่ได้รับยาชื้มหรือยาสลบ เพื่อช่วยทำให้การจัดท่าเป็นไปอย่าง ถูกต้องตามมาตรฐาน นอกจากท่ามมาตรฐานแล้ว สุนัขอาจจำเป็นต้องถูกเอกซเรย์เพิ่มเติมอีกท่า โดยสุนัขนอนหงายและขาถูก ถ่วงออกสองข้าง (frog leg) ซึ่งเป็นท่าตรวจที่เพิ่มขึ้นมาจากการที่ FCI การอ่านแพรผลภาพรังสีส่วนข้อสะโพกเป็นอีก ขั้นตอนที่มีความสำคัญ การอ่านแพรผลจะพิจารณาถึงลักษณะความแน่นของข้อสะโพก ดุลักษณะของหัวกระดูกต้นขา (Femoral head) เบ้ากระดูกเชิงกราน (Acetabulum) การเคลื่อนของข้อสะโพก (subluxation) เบ้ารับน้ำหนัก (weight-bearing surface of the socket, dorsal acetabular rim) การเกิดกระดูกงอก (osteophyte) หรือมีการเปลี่ยนแปลง ของกระดูกอื่นๆร่วม (Brass, 1989; Corley, 1992; Corley & Keller, 1989; Keller, 2006; Lust, 1993; Morgan, 1988; Riser, Rhodes & Newton, 1985) นอกจากนี้แล้วทำการวัดมุมของศูนย์กลางของหัวกระดูก (center of femoral head) ที่ทำกับขอบของเบ้ากระดูกด้านหน้า (dorsal cranial acetabulum rim) ที่เรียกว่า Norberg's angle (Norberg, 1961) เพื่อใช้ร่วมในการพิจารณาวินิจฉัยแบ่งเกรดข้อสะโพก ซึ่งการแบ่งเกรดได้มีการแยกตามระบบต่างๆกัน คือแบบของ OFA ([www.offa.org](http://www.offa.org)) ซึ่งจะทำการแบ่งเกรดของข้อสะโพกเป็นทั้งสิ้น 7 เกรดด้วยกันคือ 1. Excellent 2. Good 3. Fair 4. Borderline 5. Mild 6. Moderate 7. Severe การอ่านแพรผลแบบของ FCI ([www.fci.be](http://www.fci.be)) จะแบ่งเกรดแบ่งเป็น 7 เกรด เช่นเดียวกัน โดยต่างกันที่การเรียกของ FCI จะรายงานเป็น A-1, A-2, B-1, B-2, C, D, E โดยที่การพิจารณาแบ่งเกรดจะใช้ หลักการเดียวกัน ความถูกต้องของวินิจฉัยโรคข้อสะโพกเจริญผิดปกติตัววิธีการเอกซเรย์เพิ่มมากขึ้นเมื่อสัตว์อายุมากขึ้น จากการศึกษาพบว่าความถูกต้องอยู่ที่ 85 – 95 เปอร์เซนต์เมื่อสุนัขอายุที่ 24 เดือน (Corley, 1992; Farrow & Back, 1989) ดังนั้นทาง OFA จึงจะออกไปรับรองการตรวจโรคนี้อย่างเป็นทางการเมื่อสุนัขอายุ 2 ปี (Keller, 2006)

ซึ่งหากนำนำไปใช้ในการคัดเลือกสุนัขในกิจกรรมทหารจะเป็นการซ้ำเกินไป และสิ่นเปลืองค่าใช้จ่ายในการเลี้ยงดูและ ฝึกหัดซึ่งโดยทั่วไปแล้วสุนัขเข้ารับการฝึกมีอายุ 1 ปี เมื่อเทียบกับการถ่ายภาพทางรังสีท่าในท่ามาตรฐาน ขาหลังของสุนัข ถูกดึงให้เหยียดขนาดกันไปทางด้านท้ายของตัวสัตว์ มีผลให้ข้อสะโพกเหยียดออกมากกว่าที่ยืนรับน้ำหนักตามปกติ และถุง หุ้มข้อต่อ(joint capsule) ถูกบีบเป็นเกลียวตึงขึ้นจนดันให้ femoral head กลับคืนเข้าไปใน acetabulum ได้มากขึ้น (Smith et al., 1990; Vezzoni et al., 2005) จึงอาจตรวจไม่พบข้อสะโพกเจริญผิดปกติในระยะเริ่มแรกที่มีเพียงการ เคลื่อนบางส่วนของข้อสะโพก ดังนั้นจึงได้มีการพัฒนาเทคนิคต่างๆขึ้นมา คือ การประเมินการหลุมของข้อสะโพกจาก ภาพถ่ายทางรังสี ซึ่งส่วนใหญ่อาศัยหลักการจัดท่าสัตว์ที่ทำให้หัวกระดูกต้นขาหลัง (femoral head) เคลื่อนออกจาก acetabulum ได้ห่างที่สุด ท่ากดข้อสะโพก (stress techniques) เป็นเทคนิคใหม่ในการจัดท่าโดยเลียนแบบการรับ

น้ำหนักของข้อสะโพกสุนัขขณะยืนซึ่งทำให้หัวกระดูกตันขาหลัง ถูกดันเลื่อนออกจาก เบ้ากระดูกเชิงกรานมากขึ้น ท่ากอด 60° ทำโดยจัดให้สุนัขนอนหงาย ใช้มือจับที่ปลายล่างของกระดูกขาหลังท่อนล่างแต่ละข้าง แล้วจัดให้สองขาหลังเหยียดตรงไปทางด้านท้ายของลำตัวสัตว์โดยทำมุม 60° กับพื้นระนาบในลักษณะเดียวกันกับท่าของ Fluckiger และคณะ (1999) แต่บิดหัวเข่าเข้าด้านในเล็กน้อยพร้อมๆ กับทุบขาให้หัวเข่าทั้งสองข้างประชิดกันในแนวกลางลำตัว จัดสะโพกและขาให้สมมาตรก่อนออกแรงดันข้อสะโพกในแนว craniodorsal เพื่อดันหัวกระดูกตันขาหลังเคลื่อนไปทางด้านหน้า ด้านบน และด้านข้างของ acetabulum พร้อมๆ กันในขณะที่ทำการถ่ายภาพทางรังสีในแนว ventrodorsal

ดังนั้นจึงควรการศึกษาเบรเยินเพียบถึงเทคนิคการจัดท่าระหว่างท่ามาตรฐานและท่ากอด 60° ของสุนัขพันธุ์เยอรมัน เชฟเฟอร์ด ในศูนย์ฝึกห回事 ช่วงอายุตั้งแต่ 10-12 เดือน เพื่อประเมินการวินิจฉัยโรคข้อสะโพกเจริญผิดปกติระยะเริ่มแรกเพื่อ ดำเนินการการเกิดโรคข้อสะโพกเจริญผิดปกติของสุนัขในศูนย์ฝึกห回事 และเพื่อเป็นประโยชน์ต่อการศึกษาทางเทคนิค ถ่ายภาพรังสีที่เหมาะสมในสุนัขช่วงอายุที่น้อยที่สุดต่อไปในอนาคต

#### วิธีดำเนินการวิจัย

##### สัตว์ทดลอง

สุนัขพันธุ์เยอรมันเชฟเฟอร์ด อายุ 10 – 12 เดือน จำนวน 89 ตัว

##### การถ่ายภาพทางรังสี

ก่อนที่จะทำการถ่ายภาพทางรังสี สุนัขถูกขักนำสลบด้วยยานำสลบ medetomidine hydrochloride (Domitor®) ขนาด 1 มิลลิกรัมต่อ กิโลกรัม ร่วมกับ Atropine sulfate ขนาด 0.04 มิลลิกรัมต่อ กิโลกรัม ฉีดเข้าทางกล้ามเนื้อบริเวณสะโพก (paralumbar muscle) จากนั้นประมาณ 15 นาที ทำการถ่ายภาพทางรังสีข้อสะโพกสุนัข จำนวน 2 ท่า

##### ท่าที่ 1 ท่ามาตรฐาน (standard technique) ตามรูปแบบของ OFA (Henry, 1992)

ทำการจัดท่าโดยให้สุนัขนอนหงาย ดึงสองขาหลังเหยียดตึงนานกันในแนวราบไปทางด้านท้ายของลำตัวสัตว์ บิดหัวเข้าด้านในเล็กน้อยเพื่อให้กระดูกสะบ้า (patellar) อยู่ที่กางกระดูกขาหลังส่วนต้น (femur) จัดสะโพกและขาหลังทั้งสองข้างให้สมมาตรก่อนถ่ายภาพทางรังสีในแนว ventrodorsal ให้ครอบคลุมตั้งแต่กระดูกเชิงกรานทั้งอันจนถึงปลายล่างของกระดูกขาหลังส่วนต้น (femur) และกระดูกสะบ้าทั้งสองข้าง

ลักษณะของภาพรังสีต้องมีความสมมาตรของข้อสะโพกทั้งสองข้าง โดยสังเกตจาก obturator foramen ทั้งสองด้านของกระดูกเชิงกรานต้องมีเส้นผ่านศูนย์กลางแตกต่างกันไม่เกิน 5 มิลลิเมตร ขาทั้งสองข้างนานกัน และกระดูกสะบ้าอยู่ที่กางปลายล่างของ femur (รูปที่ 1)

##### ท่าที่ 2 ท่ากอด 60° (60° stress technique) เป็นท่ากอดข้อสะโพกที่ดัดแปลงจากท่าของ Flucking et al.

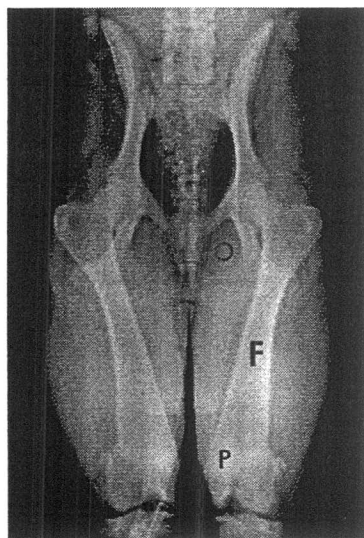
จัดให้สุนัขนอนหงาย ใช้มือจับที่ปลายล่างของ tibia แต่ละข้างแล้วจัดให้ femur ทั้งสองข้างนานกับพื้นระนาบโดยให้ lateral femoral epicondyle เยื่องกับ greater trochanter ไปทางด้านท้ายเล็กน้อย งอเข่า 60° ให้ tibia นานกับพื้นแล้วจึงบิดหัวเข้าด้านในเล็กน้อยพร้อมๆ กับทุบขาให้หัวเข่าทั้งสองข้างประชิดกันในแนวกลางลำตัว จัดสะโพกและขาให้สมมาตรก่อนออกแรงดันข้อสะโพกในแนว craniodorsal เพื่อดันให้ femoral head เคลื่อนไปทางด้านหน้า ด้านบน และด้านข้างของ acetabulum พร้อมๆ กันในขณะที่ทำการถ่ายภาพรังสีในแนว ventrodorsal (รูปที่ 2)

ลักษณะของภาพรังสีต้องมีความสมมาตรของข้อสะโพกทั้งสองข้าง โดย obturator foramen ทั้งสองด้านต้องมีเส้นผ่านศูนย์กลางแตกต่างกันไม่เกิน 5 มิลลิเมตร ภาพของ femur สั้นลงและปลายของ femur บิดเข้าหาด้านกลางลำตัว (รูปที่ 1, 2)

ทำการถ่ายภาพรังสีข้อสะโพกทั้งสองข้างของสุนัขเป็นช้ำอีครั้ง สามเดือนต่อมา



รูปที่ 1ภาพรังสีข้อสะโพกในท่ามาตรฐาน ตรวจความสมมาตรของสะโพก และขาหลังโดยสังเกตจาก obturator foramen (O) ทั้งสองด้านของกระดูกเชิงกรานว่ามีเส้นผ่านศูนย์กลางแตกต่างกันไม่เกิน 5 มิลลิเมตร ขาทั้งสองข้างนานกันและกระดูกสะบ้า (P) อยู่กึ่งกลาง femur (F)



รูปที่ 2ภาพรังสีข้อสะโพกในท่ากด 60° ตรวจความสมมาตรของสะโพก และขาหลังโดยสังเกตจาก obturator foramen (O) ทั้งสองด้านของกระดูกเชิงกรานว่ามีเส้นผ่านศูนย์กลางแตกต่างกันไม่เกิน 5 มิลลิเมตร femur (F) มีขนาดสั้นลง และกระดูกสะบ้า (P) อยู่ในตำแหน่งที่สูงกว่า

#### การแบ่งกลุ่มสุนัขข้อปกติและข้อสะโพกเจริญผิดปกติ

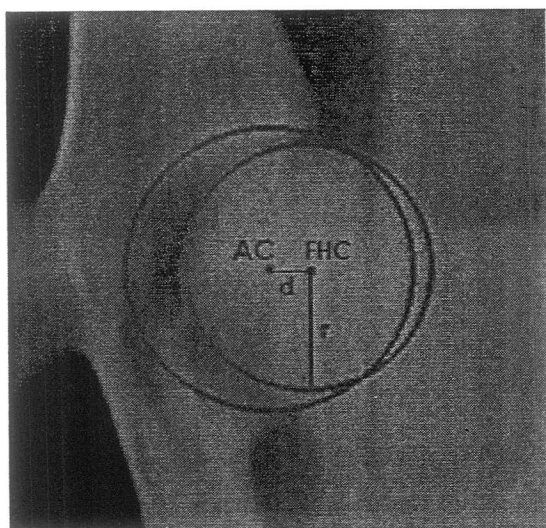
ทั้งการถ่ายภาพทางรังสีทั้งสองครั้งจะแบ่งสุนัขออกเป็นสองกลุ่มได้แก่ กลุ่มปกติและกลุ่มที่มีโอกาสเป็นข้อสะโพกเจริญผิดปกติ โดยสัตวแพทย์ผู้มีประสบการณ์ซึ่งจะประเมินข้อสะโพกตามวิธีของ OFA ซึ่งกลุ่มข้อสะโพกเจริญผิดปกติจะมีข้อสะโพกอยู่ในระดับดีมาก (excellent), ดี (good) และ พอใช้ (fair) ส่วนกลุ่มข้อสะโพกเจริญผิดปกติจะอยู่ในระดับ แย่ (mild hip dysplasia), แย่ปานกลาง(moderate hip dysplasia), และ แย่มาก(severe hip dysplasia) การถ่ายภาพทาง

รังสีครั้งแรกพบว่าสุนัขในกลุ่มปกติและกลุ่มข้อสะโพกเจริญผิดปกติมีจำนวน 67 ตัวและ 22 ตัวตามลำดับ ครั้งที่สองพบว่า สุนัขในกลุ่มปกติและกลุ่มข้อสะโพกเจริญผิดปกติมีจำนวน 52 ตัวและ 19 ตัวตามลำดับ  
การคำนวณหาภาวะข้อสะโพกหวานจากท่าทางรังสี

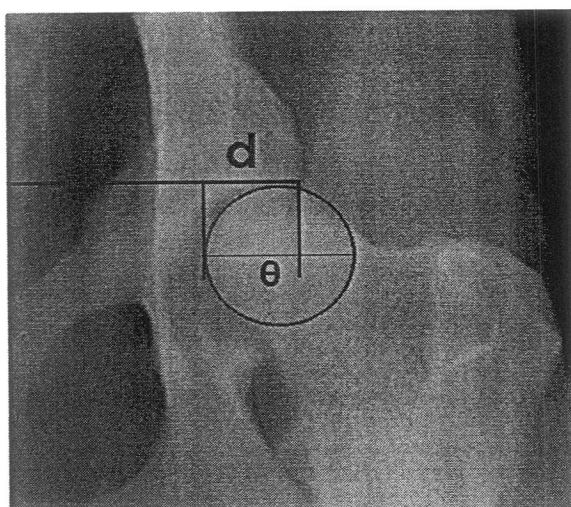
ค่าทางรังสีของข้อสะโพกแต่ละข้างที่ถ่ายจากการถ่ายภาพสัตว์ทั้งสองเทคนิคถูกนำมาประเมินหาภาวะข้อสะโพก หวานและนำข้อมูลที่ได้มาคำนวณหาค่า 2 ค่า คือ

3.1 ค่า subluxation index (SI)ตามวิธีการของ Fluckinger et al.(1999) ซึ่งปัจจุบันระดับการเคลื่อนของ femoral head ออกจาก acetabulum ไปทางด้านข้างเมื่อข้อสะโพกได้รับแรงกด โดยที่ค่า SI มีค่าระหว่าง 0-1 ซึ่งคำนวณได้จากสูตร  $SI = d/r$  เมื่อ  $d$  = ระยะทางจากจุดศูนย์กลางของ femoral head ถึงจุดศูนย์กลางของ acetabulum และ  $r$  = รัศมีของ femoral head (รูปที่ 3)

3.2 ค่า dorsolateral subluxation score (DLS)ตามวิธีการของ Farese et al. (1998) เป็นค่าที่แสดงถึงสัดส่วนคิดเป็น ร้อยละของ femoral head ที่ถูกคลุ่มด้วย acetabulum คำนวณได้จากสูตร  $DLS \text{ score} = [d/\square] \times 100$  เมื่อ  $d$  = ระยะทางจากริมอกสุดของขอบหน้าของ acetabulum จนถึงแนวตั้งจากที่ลากจากขอบในสุดของ femoral head ไปยังเส้นตรงที่เชื่อมระหว่างขอบหน้าของ acetabulum ทั้งสองข้าง และ  $\square$  = เส้นผ่านศูนย์กลางส่วนที่กว้างที่สุดของ femoral head (รูปที่ 4 )



รูปที่ 3  
(SI) จาก femora  
รัศมีของ



การวิเคราะห์ข้อมูล

รูปที่ 4 แผนภาพแสดงการคำนวณค่า dorsolateral subluxation score (DLS) จากสูตร  $DLS \text{ score} = [d/\square] \times 100$  เมื่อ  $d$  = ระยะทางจากริมอกสุดของขอบหน้าของ acetabulum จนถึงแนวตั้งจากที่ลากจากขอบในสุดของ femoral head ไปยังเส้นตรงที่เชื่อมระหว่างขอบหน้าของ acetabulum ทั้งสองข้าง และ  $\square$  = เส้นผ่านศูนย์กลางส่วนที่กว้างที่สุดของ femoral head (Farese et al., 1998)

ทำการเปรียบเทียบความแตกต่างของค่าเฉลี่ย SI และ DLS score ทั้งในกลุ่มปกติและกลุ่มข้อสะโพกเจริญผิดปกติ ด้วยวิธี Npar-1-way test จากนั้นนำมาเปรียบเทียบความแตกต่างทางสถิติของค่า SI และ DLS score ระหว่าง กลุ่มปกติ และกลุ่มข้อสะโพกเจริญผิดปกติ ในการถ่ายภาพทางรังสีครั้งเดียวกัน และเปรียบเทียบความแตกต่างทางสถิติของค่า SI และ DLS score ระหว่างการถ่ายภาพทางรังสีครั้งที่ 1 และ 2

นอกเหนือจากการวิเคราะห์ทางสถิติแล้ว ยังสามารถนำข้อมูลมาวิเคราะห์เพื่อถูกการดำเนินไปของโรคโดยประเมินจากสูนัขกลุ่มปกติและกลุ่มข้อสะโพกเจริญผิดปกติในทั้ง 2 ครั้งว่ามีความเหมือนหรือแตกต่างกันอย่างไร

### ผลการศึกษาและวิจารณ์ผลการศึกษา

#### ผลการทดลอง

จากผลการทดลองพบว่า มีสูนัขจำนวน 5 ตัวที่ให้ผลการประเมินข้อสะโพกในครั้งแรก ท่ามาตรฐานอยู่ในกลุ่มปกติ ท่ากต 60° อยู่ในกลุ่มข้อสะโพกเจริญผิดปกติ ส่วนครั้งที่สอง ทั้งท่ามาตรฐานและท่ากต 60° ให้ผลประเมินอยู่ในกลุ่มข้อสะโพกเจริญผิดปกติทั้งสองท่า

#### ผลการภาพถ่ายทางรังสีครั้งที่ 1 ในกลุ่มปกติ

ตารางที่ 1ผลการภาพถ่ายทางรังสีครั้งที่ 1 ในกลุ่มปกติ แสดงถึง ค่า Subluxation index (SI) และ dorsolateral subluxation score (DLS score) คำนวนจากการถ่ายทางรังสีท่ามาตรฐานและท่ากต 60°

ค่าพารามิเตอร์	ค่าสถิติ	ท่ามาตรฐาน	ท่ากต 60°
Subluxation index (SI)	ค่าต่ำสุด-ค่าสูงสุด ค่าเฉลี่ย±ค่าเบี่ยงเบนมาตรฐาน	0 – 0.30 0.08 ± 0.05	0.01 – 0.3 0.10 ± 0.06
dorsolateral subluxation score (DLS score)	ค่าต่ำสุด-ค่าสูงสุด ค่าเฉลี่ย±ค่าเบี่ยงเบนมาตรฐาน	41.72 – 97.27 61.56 ± 6.49	15.54 – 74.58 59.52 ± 8.23

#### ผลการภาพถ่ายทางรังสีครั้งที่ 1 ในกลุ่มข้อสะโพกเจริญผิดปกติ

ตารางที่ 2ผลการภาพถ่ายทางรังสีครั้งที่ 1 ในกลุ่มข้อสะโพกเจริญผิดปกติ แสดงถึง ค่า Subluxation index (SI) และ dorsolateral subluxation score (DLS score) คำนวนจากการถ่ายทางรังสีท่ามาตรฐานและท่ากต 60°

ค่าพารามิเตอร์	ค่าสถิติ	ท่ามาตรฐาน	ท่ากต 60°
Subluxation index (SI)	ค่าต่ำสุด-ค่าสูงสุด ค่าเฉลี่ย±ค่าเบี่ยงเบนมาตรฐาน	0.03 – 0.29 0.11 ± 0.06	0.02 – 1.10 0.23 ± 0.18
dorsolateral subluxation score (DLS score)	ค่าต่ำสุด-ค่าสูงสุด ค่าเฉลี่ย±ค่าเบี่ยงเบนมาตรฐาน	38.81 - 77.06 53.39 ± 8.78	26.82 – 80.6 45.97 ± 11.43

#### ผลจากการภาพถ่ายทางรังสีครั้งที่ 2 ในกลุ่มปกติ

ตารางที่ 3ผลจากการถ่ายภาพทางรังสีครั้งที่ 2 ในกลุ่มปกติ แสดงถึง ค่า Subluxation index (SI) และ dorsolateral subluxation score (DLS score) คำนวนจากการถ่ายทางรังสีท่ามาตรฐานและท่ากต 60°

ค่าพารามิเตอร์	ค่าสถิติ	ท่ามาตรฐาน	ท่ากต 60°
Subluxation index (SI)	ค่าต่ำสุด-ค่าสูงสุด ค่าเฉลี่ย±ค่าเบี่ยงเบนมาตรฐาน	0.02 – 0.45 0.09 ± 0.08	0.02 – 1.28 0.13 ± 0.18

Dorsolateral subluxation score (DLS score)	ค่าต่ำสุด-ค่าสูงสุด ค่าเฉลี่ย±ค่าเบี่ยงเบนมาตรฐาน	40.33 - 76.53 $62.17 \pm 6.87$	35.12 – 78.72 $60.82 \pm 8.51$
--	--	-----------------------------------	-----------------------------------

ผลจากการถ่ายภาพหางรังสีครั้งที่ 2 ในกลุ่มข้อสะโพกเจริญผิดปกติ

ตารางที่ 4 ผลจากการถ่ายภาพหางรังสีครั้งที่ 2 ในกลุ่มข้อสะโพกเจริญผิดปกติ แสดงถึง ค่า Subluxation index (SI) และ dorsolateral subluxation score (DLS score) คำนวณจากการถ่ายภาพถ่ายหางรังสีท่ามาตรฐานและท่ากต 60°

ค่าพารามิเตอร์	ค่าสถิติ	ท่ามาตรฐาน	ท่ากต 60°
Subluxation index (SI)	ค่าต่ำสุด-ค่าสูงสุด	0.02 – 0.35	0.02 – 0.52
	ค่าเฉลี่ย±ค่าเบี่ยงเบนมาตรฐาน	$0.12 \pm 0.08$	$0.17 \pm 0.12$
Dorsolateral subluxation score (DLS score)	ค่าต่ำสุด-ค่าสูงสุด	40.67 - 84.62	30.59 – 79.17
	ค่าเฉลี่ย±ค่าเบี่ยงเบนมาตรฐาน	$56.71 \pm 9.44$	$49.26 \pm 11.20$

ผลการเปรียบเทียบท่า SD และท่ากต 60° ระหว่างกลุ่มปกติและกลุ่มข้อสะโพกเจริญผิดปกติในการถ่ายภาพหางรังสีครั้งที่ 1

ค่า SI ทั้งในท่ามาตรฐานและท่ากต 60° มีความแตกต่างกันอย่างมีนัยสำคัญ ( $P<0.05$ ) ระหว่างกลุ่มปกติและกลุ่มข้อสะโพกเจริญผิดปกติ

ค่า DLS score ทั้งในท่ามาตรฐานและท่ากต 60° มีความแตกต่างกันอย่างมีนัยสำคัญ ( $P<0.05$ ) ระหว่างกลุ่มปกติและกลุ่มข้อสะโพกเจริญผิดปกติ

ผลการเปรียบเทียบท่า SD และท่ากต 60° ระหว่างกลุ่มปกติและกลุ่มข้อสะโพกเจริญผิดปกติในการถ่ายภาพหางรังสีครั้งที่ 2

ค่า SI ทั้งในท่ามาตรฐานและท่ากต 60° มีความแตกต่างกันอย่างมีนัยสำคัญ ( $P<0.05$ ) ระหว่างกลุ่มปกติและกลุ่มข้อสะโพกเจริญผิดปกติ

ค่า DLS score ทั้งในท่ามาตรฐานและท่ากต 60° มีความแตกต่างกันอย่างมีนัยสำคัญ ( $P<0.05$ ) ระหว่างกลุ่มปกติและกลุ่มข้อสะโพกเจริญผิดปกติ

#### ความสัมพันธ์ระหว่างค่า Subluxation index และ dorsolateral subluxation score

เมื่อวิเคราะห์เปรียบเทียบความแม่นยำของค่า Subluxation index และ dorsolateral subluxation score โดยการวิเคราะห์ค่าสัมประสิทธิ์ความแปรปรวน (Coefficient of variation) จากการถ่ายภาพรังสีทั้ง 2 ครั้ง พบว่า DLS score มีการกระจายสัมพันธ์ของข้อมูลที่น้อยกว่าค่า SI โดยในค่า SI และ DLS score มีค่าสัมประสิทธิ์ความแปรปรวนในการถ่ายภาพรังสีครั้งที่ 1 เท่ากับ 85.92 และ 16.30 ในครั้งที่ 2 เท่ากับ 113.33 และ 15.55 ตามลำดับ

## อภิรายและวิจารณ์

ในการถ่ายภาพทางรังสีท่ามานาตรฐาน การประเมินภาวะข้อสะโพกเจริญผิดปกติประเมินจากการเคลื่อนบางส่วนของข้อ การสมรับกันของหัวกระดูกและเบ้ากระดูก และการเปลี่ยนแปลงของกระดูก แต่การประเมินอาจเกิดความคลาดเคลื่อนได้เนื่องจากความแตกต่างระหว่างการประเมินของแต่ละบุคคล (Verhoeven et al. 2007) อีกทั้งในรายที่เกิดภาวะข้อเจริญผิดปกติในระยะแรกที่ยังไม่มีการเปลี่ยนแปลงของกระดูก แต่มีเพียงการเคลื่อนบางส่วนของข้อเพียงเล็กน้อย โดยเฉพาะในสุนัขอายุน้อยที่อีกษาเหตุที่ทำให้การประเมินผิดพลาดได้ เช่นกัน (Corley et al., 1997)

Smith et al. (1993) พบร่วมกับเทคนิคในการจัดท่าเพื่อถ่ายภาพทางรังสีโดยการใช้แรงกดข้อสะโพกในลักษณะที่เลียนแบบการรับน้ำหนักของข้อสะโพกขณะยืน มีความไวในการตรวจวัดภาวะข้อสะโพกลดลงมากกว่าการใช้ท่ามานาตรฐาน (ไฟวิกา และ ดวงเดือน, 2002; ดวงเดือน และคณะ, 2002) เนื่องจากในท่ามานาตรฐานขาหลังของสุนัขจะถูกดึงให้เหยียดขณะก้นไปทางด้านท้ายของตัวสัตว์ ข้อสะโพกจึงเหยียดต่อ กองมากกว่าท่ามีน้ำหนักตามปกติ และถุงหุ้มข้อต่อถูกบิดเป็นเกลียวตึงขึ้นจนดันให้ femoral head กลับคืนเข้าไปใน acetabulum ได้มากขึ้น (Smith et al., 1990; Vezzoni et al., 2005) ดังนั้นการใช้ท่ากดจึงเหมาะสมสำหรับการตรวจข้อสะโพกเจริญผิดปกติในระยะแรกที่มีการเคลื่อนเพียงบางส่วนของข้อสะโพก ซึ่งสอดคล้องกับการศึกษานี้ที่พบว่าท่ากด 60° มีความไวกว่าท่ามานาตรฐาน ทั้งในกลุ่มข้อสะโพกปกติ\* และกลุ่มข้อสะโพกเจริญผิดปกติ\* ซึ่งค่าเฉลี่ย SI และ DLS score ที่ได้จากการท่ากด 60° มีความแตกต่างอย่างมีนัยสำคัญทางสถิติจากท่ามานาตรฐาน โดยพบร่วมค่าเฉลี่ย SI จากท่ากด 60° สูงกว่าท่ามานาตรฐานอย่างมีนัยสำคัญทางสถิติ ( $P < 0.05$ ) ทั้งในกลุ่มปกติ\* และกลุ่มที่มีข้อสะโพกเจริญผิดปกติ\* และค่าเฉลี่ย DLS score จากท่ากด 60° ต่ำกว่าท่ามานาตรฐานอย่างมีนัยสำคัญทางสถิติ ( $P < 0.05$ ) ทั้งในกลุ่มปกติ\* และกลุ่มที่มีข้อสะโพกเจริญผิดปกติ\* นอกจากนั้นยังพบว่า มีสุนัขจำนวน 5 ตัวที่ให้ผลการประเมินข้อสะโพกในครั้งแรก ท่ามานาตรฐานอยู่ในกลุ่มปกติ และท่ากด 60° อยู่ในกลุ่มข้อสะโพกเจริญผิดปกติ ส่วนครั้งที่สองให้ผลประเมินของทั้งท่ามานาตรฐานและท่ากด 60° อยู่ในกลุ่มข้อสะโพกเจริญผิดปกติ ซึ่งแสดงให้เห็นว่าท่ากด 60° สามารถตรวจหาสุนัขที่ข้อสะโพกเจริญผิดปกติได้ไวกว่าการใช้ท่ามานาตรฐาน

ในการศึกษาครั้งนี้ใช้ค่า SI และ ค่า DLS score ในการประเมินภาวะข้อสะโพกเจริญผิดปกติ โดยค่า DLS score ใช้ในการคำนวณเพื่อถูกการเคลื่อนของ femoral head ไปทางด้าน dorsolateral ของ acetabulum (Farese et al., 1998) ส่วนค่า SI เป็นค่าเดียวกันกับค่า DI ที่ใช้ในการคำนวณเพื่อถูกการเคลื่อนของ femoral head ไปทางด้าน lateral ของ acetabulum (Smith et al., 1990) ซึ่งการจัดท่าสุนัขที่ไม่ถูกต้องจะส่งผลให้ค่าทั้งสองนี้ไม่น่าเชื่อถือ โดยพบร่วมกันว่าหากจัดท่าสุนัขเอียงไปทางด้านใดด้านหนึ่ง จะทำให้ผลภาพถ่ายทางรังสีของ acetabulum ด้านนั้นมีความท่างของข้อสะโพกเกินความจริง ส่วนภาพถ่ายทางรังสีของข้อสะโพกอีกด้านหนึ่งจะพบว่าถูกปกลุ่มด้วย acetabulum มากเกินความเป็นจริง เช่นเดียวกัน (ดวงเดือน, 2545) ซึ่ง Smith et al. (1990) รายงานว่าภาพถ่ายทางรังสีของกระดูกเชิงกรานที่เอียงไม่เกินร้อยละ 15 จะไม่ส่งผลต่อการคำนวณค่า DI หรือ SI ใน การประเมินภาวะข้อสะโพกเจริญผิดปกติ นอกจากนั้น การคำนวณโดยใช้ค่า DLS score ในสุนัขรายที่เกิดการเสื่อมของ acetabular rim ที่พบร่วมมีการออกขี้นใหม่ของกระดูก(osteophytes)ขึ้น จะไม่สามารถแยกภาวะข้อสะโพกผิดปกติกับภาวะข้อสะโพกเสื่อมได้

ถึงแม้ว่าศึกษาของ Farese et al (1998) จะพบร่วมค่า DLS มีสหสัมพันธ์อย่างมากกับค่า SI แต่จากการคำนวณทางสถิติในการทดลองครั้งนี้พบว่าค่า DLS score มีความแปร่ระย่างของข้อมูลที่ได้น้อยกว่าค่า SI ดังนั้นค่า DLS score จึงมีความน่าเชื่อถือมากกว่าเมื่อนำมาใช้ในการแปลง ซึ่งจากการศึกษา Lust et al. (2001) ที่ทำการทดลองเปรียบเทียบความแม่นยำของค่า extended-hip radiographic (EHR) score ค่าDI และค่า DLS score โดยพบร่วมแม้ความจำเพาะของทั้งสามค่าในการประเมินภาวะข้อสะโพกเจริญผิดปกติในสุนัขอายุ 8 เดือนจะไม่มี

ความแตกต่างกัน แต่พบว่าค่า DLS score นั้นมีความไวในการประเมินภาวะข้อสะโพกเจริญผิดปกติมากกว่าค่า EHR และ DI ด้วย

ในสุนัขกลุ่มข้อสะโพกเจริญผิดปกติพบร่วมกับ SI และ DLS score มีความแตกต่างอย่างมีนัยสำคัญทางสถิติจากกลุ่มข้อสะโพกเจริญปกติ ซึ่งสอดคล้องกับการประเมินลักษณะข้อสะโพกเจริญผิดปกติจากภาพถ่ายทางรังสีตามมาตรฐานของ OFA โดยจากการทดลองพบว่าในสุนัขกลุ่มข้อสะโพกเจริญผิดปกติที่มีข้อสะโพกอยู่ในระดับดีมาก (excellent), ดี (good) และ พอดี (fair) จะมีค่า SI น้อยกว่าหรือเท่ากับ 0.3 และมีค่า DLS score มากกว่าร้อยละ 60 ส่วนในสุนัขกลุ่มข้อสะโพกเจริญผิดปกติในระดับ แย่ (mild hip dysplasia), แย่ปานกลาง (moderate hip dysplasia), และ แย่มาก (severe hip dysplasia) จะมีค่า SI มากกว่า 0.3 และมีค่า DLS score น้อยกว่าร้อยละ 60 ซึ่งสัมพันธ์กับการศึกษาของ Fluckiger et al. (1999)

อย่างไรก็ตามช่วงของค่า SI และ DLS score ที่แสดงถึงภาวะข้อสะโพกเจริญผิดปกติในสุนัขแต่ละพันธุ์อาจแตกต่างกันไป (Smith et al., 1995) อย่างเช่นในการศึกษาของ Adam et al., (1998) มีการใช้สุนัขพันธุ์ Borzoi เป็นสายพันธุ์อ้างอิงเนื่องจากเป็นสายพันธุ์ที่เกิดปัญหาข้อสะโพกเสื่อมน้อยมากและมีลักษณะทางพันธุกรรมของข้อสะโพกที่ปกติ ด้วยเหตุนี้จึงมีการยอมรับค่า DI (เป็นค่าเดียวกันกับค่า SI) ที่สูงสุดของพันธุ์ Borzoi มาเป็นเกณฑ์ในการประเมินภาวะข้อสะโพกเจริญผิดปกติในสุนัขด้วย จากการศึกษาครั้งนี้ สุนัขพันธุ์เยอรมัน เซฟเพริดที่ทำการถ่ายภาพรังสี มีค่าเฉลี่ย SI ของสุนัขกลุ่มข้อสะโพกปกติในท่ามาตรฐานและท่ากด 60° ในทั้งสองครั้งอยู่ในช่วง 0.08-0.13 ส่วนในกลุ่มข้อสะโพกเจริญผิดปกติมีค่าเฉลี่ย SI ในท่ามาตรฐานและท่ากด 60° ในทั้งสองครั้งอยู่ในช่วง 0.11-0.23 ส่วน DLS score ค่าเฉลี่ยของกลุ่มข้อสะโพกปกติในท่ามาตรฐานและท่ากด 60° ในทั้งสองครั้งอยู่ในช่วง 59.52-62.17 ส่วนในกลุ่มข้อสะโพกเจริญผิดปกติมีค่าเฉลี่ย DLS score ในท่ามาตรฐานและท่ากด 60° ในทั้งสองครั้งอยู่ในช่วง 45 – 53.39 ซึ่งสอดคล้องกับรายงานทั้งของ Farese et al. (1998) และ Fluckiger et al. (1999) ยกเว้นค่าเฉลี่ย SI ของสุนัขกลุ่มข้อสะโพกเจริญผิดปกติในท่ามาตรฐานและท่ากด 60° ที่พบว่ามีค่าเฉลี่ยที่ต่ำกว่ามาตรฐาน โดยอาจเกิดจากข้อมูลค่าน้ำหน่วงมีการกระจายข้อมูลที่ไม่เหมาะสม ทำให้ค่าที่ได้มีความแกร่งและมีความแม่นยำอย่างกว่าเมื่อเทียบกับ DLS score

จากการศึกษาของ Adam et al. (2000) ซึ่งได้ทำการศึกษาเบรียบเทียบการคลำตรวจข้อสะโพก จากการใช้ภาพถ่ายรังสีและอัลตราซาวน์เพื่อประเมินโรคข้อสะโพกเจริญผิดปกติในลูกสุนัขอายุ 6.5 – 9 สัปดาห์ ผลปรากฏว่าการประเมินความรุนแรงของโรคที่ระดับ mild ในสุนัขอายุน้อยทำได้ยากเนื่องจากยังไม่มีการเปลี่ยนแปลงที่ข้อสะโพกอย่างชัดเจน ดังนั้นในการศึกษาเบรียบเทียบการเปลี่ยนแปลงของข้อสะโพกใน สุนัขพันธุ์เยอรมัน เซฟเพริดช่วงอายุตั้งแต่ 10-12 เดือน เพื่อประเมินการเกิดข้อสะโพกเจริญผิดปกติตั้งแต่ระยะเริ่มแรกและทำการตรวจช้าอีก 3 เดือนต่อมาอาจยังไม่พบความผิดปกติที่เด่นชัด จากผลการประเมินที่ค่า SI และ DLS score ทั้งในกลุ่มข้อสะโพกปกติและกลุ่มข้อสะโพกเจริญผิดปกติ ระหว่างภาพถ่ายทางรังสีครั้งที่ 1 และ 2 ไม่แตกต่างกันอย่างมีนัยสำคัญทางสถิติ ดังนั้นในการท่านายโดยการเกิดโรคในสุนัขอายุน้อยที่ยังไม่มีอาการทางคลินิกควรมีการตรวจสอบและติดตามผลในระยะยาวอีกครั้งเพื่อเพิ่มความแม่นยำในการท่านายการเกิดโรคข้อสะโพกเจริญผิดปกติและภาวะข้อสะโพกเสื่อมเมื่อสุนัขมีอายุมากขึ้น ดังเช่นการศึกษาของ Corley et al. (1997) ที่กล่าวว่าเพื่อเพิ่มความเชื่อถือของการประเมินข้อสะโพกในระยะเริ่มต้น สุนัขควรได้รับการตรวจประเมินช้าอีกครั้งที่อายุ 2 ปี

การใช้ท่า 60° stress technique จะช่วยให้สามารถวินิจฉัยและท่านายโดยการเกิดภาวะข้อสะโพกเจริญผิดปกติในสุนัขพันธุ์เยอรมันเซฟเพริด อายุประมาณ 1 ปีได้ นอกจากนั้นยังสามารถนำไปใช้ประเมินในสุนัขพันธุ์อื่นที่มีโอกาสเสี่ยงในการเกิดภาวะข้อสะโพกเจริญผิดปกติได้เช่นกัน อย่างไรก็ตามเพื่อเพิ่มความน่าเชื่อถือในการท่านายการเกิดโรค ควรทำการตรวจยืนยันอีกครั้งเมื่อสุนัขอายุ 2 ปี

ผู้วิจัยและคณะ ขอขอบพระคุณสำนักงานกองทุนสนับสนุนการวิจัยและสำนักงานคณะกรรมการการอุดมศึกษา ที่ให้โอกาสและการสนับสนุนการศึกษาวิจัยในครั้งนี้อย่างดีเยี่ยม  
เอกสารอ้างอิง

ดวงเดือน แก่นค้างพลู และ ไพรีกา กมลรัตน์ . 2545. การประเมินข้อสะโพกหลวงจากภาพรังสีใน

สุนัข ตอนที่ : 1 เทคนิคใหม่ในการจัดท่าถ่ายภาพรังสีในท่ากด  
ดวงเดือน แก่นค้างพลู ไพรีกา กมลรัตน์ และ มาริชศักกรกัลป์ประวิท. 2545. การประเมินข้อสะโพก  
หลวงจากภาพรังสีในสุนัข ตอนที่ : 2 เปรียบเทียบทekenicการจัดท่าถ่ายภาพรังสีในท่ากดในสุนัขที่  
มีข้อสะโพกเจริญผิดปกติ

- Adams, W. M., R. T. Dueland, et al. 2000. Comparison of two palpation, four radiographic and three ultrasound methods for early detection of mild to moderate canine hip dysplasia. *Vet Radiol Ultrasound* 41(6): 484-90.
- Adams, W.M. 2000. Radiographic diagnosis of hip dysplasia in the young dog. *Vet Clin North Am Small Anim Pract* 30, 267-80, v-vi.
- Adams, W.M., Dueland, R.T., Meinen, J., O'Brien, R.T., Giuliano, E. & Nordheim, E.V. 1998. Early detection of canine hip dysplasia: comparison of two palpation and five radiographic methods. *J Am Anim Hosp Assoc* 34, 339-47.
- Alexander, J.W. 1992. The pathogenesis of canine hip dysplasia. *Vet Clin North Am Small Anim Pract* 22, 503-11.
- Bardens, J.W. & Hardwick, H. 1968. New observations on the diagnosis and cause of hip dysplasia. *Vet Med Small Anim Clin* 63, 238-245.
- Brass, W. 1989. Hip dysplasia in dogs. *J Small Anim Pract* 30, 166-170.
- Brooymans-Schallenberg, J.H. 1983. Diagnosis of canine hip dysplasia and selection against this trait. *Vet Q*, 8-10.
- Chalman, J.A. & Butler, H.C. 1985. Coxofemoral joint laxity and the Ortolani sign. *J Am Anim Hosp Assoc* 21, 671-676.
- Corley, E.A. 1992. Role of the Orthopedic Foundation for Animals in the control of canine hip dysplasia. *Vet Clin North Am Small Anim Pract* 22, 579-93.
- Corley, E.A. & Keller, G.G. 1989. *Hip Dysplasia: A Guide for Dog Breeders and Owners*. Orthopedic Foundation for Animals. Columbia, Missouri pp.
- Corley, E.A. & Keller, G.G. 1993. A progress Report and Update. Orthopedic Foundation for Animals.
- Corley, E. A., G. G. Keller, et al. 1997. Reliability of early radiographic evaluations for canine hip dysplasia obtained from the standard ventrodorsal radiographic projection. *J Am Vet Med Assoc* 211(9): 1142-6.
- Dammrich, K. 1991. Relationship between nutrition and bone growth in large and giant dogs. *J Nutr* 121, S114-21.

- Farrow, C.S. & Back, R.T. 1989. Radiographic evaluation of nonanesthetized and nonsedated dogs for hip dysplasia. *J Am Vet Med Assoc*194, 524-6.
- Farese, J.P. and Todhunter R.J. 1998. Dorsolateral subluxation of hip joints in dogs measured in a weight-bearing position with radiography and computed tomography. *Vet Surg* 27: 393-40.
- Fluckiger, M.A., Friedrich, G.A. and Binder, H. 1999. A radiographic stress technique for evaluation of coxofemoral joint laxity in dogs *Vet. Surg.* 28:1-9.
- Forst, H.M. 1989. Pathogenesis of Congenital Hip[ Dysplasia (CDH): A proposal. *Vet Comp Orthop Trauma*1, 1-10.
- Fries, C.L. & Remedios, A.M. 1995. The pathogenesis and diagnosis of canine hip dysplasia: a review. *Can Vet J*36, 494-502.
- Fry, T.R. & Clark, D.M. 1992. Canine hip dysplasia: clinical signs and physical diagnosis. *Vet Clin North Am Small Anim Pract*22, 551-8.
- Greshake, R.J. & Ackerman, N. 1993. Ultrasound evaluation of the coxofemoral joints of the canine neonate. *Vet Radiol Ultrasound*34, 99-104.
- Gustafsson, P.O., Olsson, S.E., Kasstrom, H. & Wennman, B. 1975. Skeleton development of Greyhounds, German Shepherd dogs and their crossbred offspring. *Acta Radiol Suppl*344, 81-107.
- Hedhammar, A., Olsson, S.E., Andersson, S.A., Persson, L., Pettersson, L., Olausson, A. & Sundgren, P.E. 1979. Canine hip dysplasia: study of heritability in 401 litters of German Shepherd dogs. *J Am Vet Med Assoc*174, 1012-6.
- Henricson, B., Ljunggren, G., Olsson, S.E. & Kasstrom, H. 1972. Controlled breeding programs. In *Canine Hip Dysplasia Symposium and Workshop*. Columbia141-151. pp.
- Henry, G.A. 1992. Radiographic development of canine hip dysplasia. *Vet Clin North Am Small Anim Pract*22, 559-78.
- Jacquelyn M. Wahl, Stephanie M. Herbst, Leigh Anne Clark, Kate L. Tsai and Keith E. Murphy, 2008. A review of hereditary diseases of german shepherd dog. *J. Vet .Med. Beh.* (3):255-265.
- Janutta, V., Hamann, H. and Distl, O.2008. Genetic and phenotypic trends in canine hip dysplasia in the German population of German shepherd. dogs.*Berl Munch Tierarztl Wochenschr.* 121(3-4): 102-9.
- Kasstrom, H. 1975. Nutrition, weight gain and development of hip dysplasia. An experimental investigation in growing dogs with special reference to the effect of feeding intensity. *Acta Radiol Suppl*344, 135-79.
- Kealy, R.D, Olsson, S.E., Monti, K.L., Lawler, D.F. Biery, D.N., Helms, R.W., Lust, G. and Smith, G.K.1992. Effects of limited food consumption on the incidence of hip dysplasia in growing dog. *J. Am. Vet. Med. Assoc.* 201(6): 857-863.

- Kealy, R.D., Lawler, D.F., Monti, K.L., Biery, D., Helms, R.W., Lust, G., Olsson, S.E. & Smith, G.K. 1993. Effects of dietary electrolyte balance on subluxation of the femoral head in growing dogs. *Am J Vet Res* 54, 555-62.
- Keller, G. 2006. *The use of Health Databases and Selecting Breeding: a guide for a dog and cat breeders and owners*. Orthopedic Foundation for Animals, Inc. . Columbia. 81 pp.
- Lanting, F. 1992. Canine hip dysplasia and the breeder. A layman's point of view. *Vet Clin North Am Small Anim Pract* 22, 739-43.
- Leighton, E.A., Linn, J.M., Willham, R.L. & Castleberry, M.W. 1977. A genetic study of canine hip dysplasia. *Am J Vet Res* 38, 241-4.
- Leighton, E.A. 1997. Genetics of canine hip dysplasia. *J Am Vet Med Assoc* 210, 1474-9.
- Lust, G., Geary, J.C. & Sheffy, B.E. 1973. Development of hip dysplasia in dogs. *Am J Vet Res* 34, 87-91.
- Lust, G. and Farrell, P.W. 1977. Hip dysplasia in dog: the interplay of genotype and environment. *Cornell Vet.* 67:447-466.
- Lust, G. 1993. Other orthopedic disease: Hip dysplasia in dogs. In *Textbook pf Small Animal Surgery* Edited by S. D. WB Saunders. Philadelphia. 1938-1944. pp.
- Lust, G., Rendano, V.T. & Summers, B.A. 1985. Canine hip dysplasia: concepts and diagnosis. *J Am Vet Med Assoc* 187, 638-40.
- Lust, G. and Todhunter, R. J. 2001. Comparison of three radiographic methods for diagnosis of hip dysplasia in eight-month-old dogs. *J Am Vet Med Assoc* 219(9): 1242-6.
- Mackenzie, S.A., Oltenacu, E.A. & Leighton, E. 1985. Heritability estimate for temperament scores in German shepherd dogs and its genetic correlation with hip dysplasia. *Behav Genet* 15, 475-82.
- Madsen, J.S., Reimann, I. & Svalastoga, E. 1991. Delayed ossification of the femoral head in dogs with hip dysplasia. *J Small Anim Pract* 32, 351-354.
- Morgan, J.P. 1988. *Radiographic Diagnosis and Control of Canine Hip Dysplasia*. Iowa State University Press. Iowa. 151 pp.
- Morgan, J.P. & Silverman, S. 1984. *Techniques of Veterinary Radiology*. 4 4 pp.
- Morgan, S.J. 1992. The pathology of canine hip dysplasia. *Vet Clin North Am Small Anim Pract* 22, 541-50.
- Nap, R.C., Hazelwinkel, H.A. & Voorhout, G. 1993. The influence of dietary protein content on growth in giant breed dgos. *Vet Comp Orthop Trauma* 6, 1-8.
- Nap, R.C., Hazelwinkel, H.A., Voorhout, G., Van den Beom, W.E. & Goedegebuure, S.A. 1991. Growth and development in Great Dane pups fed different levels of protein intake. *J Nutr* 121, 107-113.
- Norberg, I. 1961. Hoftledsdysplasi hos hund. *Hundspart* 69

- Richardson, D.C. 1992. The role of nutrition in canine hip dysplasia. *Vet Clin North Am Small Anim Pract* 22, 529-40.
- Risler, A., J. M. Klauer, et al. 2009. Puppy line, metaphyseal sclerosis, and caudolateral curvilinear and circumferential femoral head osteophytes in early detection of canine hip dysplasia. *Vet Radiol Ultrasound* 50(2): 157-66.
- Riser, W.H. 1987. A half century of canine hip dysplasia. *Semin Vet Med Surg (Small Anim)* 2, 87-91.
- Riser, W.H., Rhodes, H. & Newton, C.D. 1985. Hip Dysplasia. In *Textbook of Small Animal Orthopedics* Edited by C.D. Newton & D.M. Nunamaker. JB Lippincott. Philadelphia. 953-980. pp.
- Schnelle, G. 1935. Some new diseases in the dog. In *Am Kennel Gaz* 25-26. pp.
- Smith, G.K., Biery, D.N. & Gregor, T.P. 1990. New concepts of coxofemoral joint stability and the development of a clinical stress-radiographic method for quantitating hip joint laxity in the dog. *J Am Vet Med Assoc* 196, 59-70.
- Smith, G. K., Gregor, T. P. 1993. Coxofemoral joint laxity from distraction radiography and its contemporaneous and prospective correlation with laxity, subjective score, and evidence of degenerative joint disease from conventional hip-extended radiography in dogs. *Am J Vet Res* 4(7): 1021-42.
- Swenson, L., Audell, L. & Hedhammar, A. 1997. Prevalence and inheritance of and selection for hip dysplasia in seven breeds of dogs in Sweden and benefit: cost analysis of a screening and control program. *J Am Vet Med Assoc* 210, 207-14.
- Tsai, K.L. & Murphy, K.E. 2006. Clinical and genetic assessments of hip joint laxity in the Boykin spaniel. *Can J Vet Res* 70, 148-50.
- The orthopedic Foundation for animals. 2009. Breeds having at least 100 evaluations January 1974 through December 2008. [online]. Available:<http://www.offa.org/hipstatbreed>
- Van der Velden, N.A. 1983. Hip dysplasia in dogs. *Vet Q* 5, 3-8.
- Van Hagen, M.A., Ducro, B.J., van den Broek, J. & Knol, B.W. 2005. Incidence, risk factors, and heritability estimates of hind limb lameness caused by hip dysplasia in a birth cohort of boxers. *Am J Vet Res* 66, 307-12.
- Verhoeven, G., Coopman, F., Duchateau, L., Saunders, J.H., Rijssen, B.V. and Bree, H.V. 2007. Interobserver agreement in the diagnosis of canine hip dysplasia using the standard ventrodorsal hip-extended radiographic method. *J. Small. Anim. Prac.* 48, 387-393.
- Vezzoni, A., Dravelli, G., Corbari, A., De Lorenzi, M., Cirla, A. and Tranquilo, V. 2005. The early diagnosis of canine hip dysplasia. *The Euro J Comp AnimPrac* 15:173-184